

ارزیابی پویایی گسل شکرآب (شمال بیرجند) بر مبنای شاخص‌های ریخت زمین ساختی

مهدی یوسفی^{۱*}، محمد مهدی خطیب^۲، ابراهیم غلامی^۳، سید مرتضی موسوی^۳

۱- کارشناسی ارشد تکتونیک، گروه زمین‌شناسی، دانشگاه پیام نور یاسوج

۲- استاد گروه زمین‌شناسی، دانشکده علوم، دانشگاه بیرجند

۳- استادیار گروه زمین‌شناسی، دانشکده علوم، دانشگاه بیرجند

پذیرش مقاله: ۱۳۹۲/۵/۱۵

تأیید نهایی مقاله: ۱۳۹۳/۲/۱۷

چکیده

گسل شکرآب دارای روند باختری - خاوری باشیب ۶۰ درجه شمالی و در فاصله ۴ کیلومتری از شمال شهر بیرجند قرار دارد. محاسبه چهار شاخص ریخت زمین ساختی شامل شاخص طول - گرادیان رودخانه (SL)، نسبت عرض دره به ارتفاع دره (Vf) در آبراهه‌ها، هیپسومتری نسبت ارتفاع (Er) و سینوسیته پیشانی کوهستان (Smf)، مقادیر بالایی را برای SL (۴۰۴ تا ۱۰۲۰) و Er (۰.۸۱ تا ۰.۴۷) و مقادیر پایینی را برای Vf (۰/۲۲ تا ۰/۱۴) و Smf (۱/۰۳ تا ۱/۷۲) نشان می‌دهند که دلالت بر جنبایی پهنه شکرآب بویژه در دو بخش شرقی و غربی آن دارند. از این رو می‌توان رده ۱ پویایی نوزمین ساختی را برای منطقه در نظر گرفت. همچنین شواهد نوزمین ساختی از جمله برش در رسوبات کواترنری، جابجایی متناوب چیگرد آبراهه‌ها، وجود کج شدگی در رسوبات کواترنری، گسترش مخروطه افکنه‌های جوانتر (Qf1) که در راس پیشانی کوهستان تشکیل شده‌اند، وجود سه نسل از تراس‌های رودخانه‌ای بریده شده و همچنین وجود پرتگاه‌های گسلی، حاکی از فعالیت در طی کواترنر می‌باشند.

واژه‌های کلیدی: تکتونیک فعال، خاور ایران، شاخص ریخت زمین ساختی، گسل شکرآب، نوزمین ساخت.

دارد. منطقه مورد مطالعه در ایالت ساختاری سیستان واقع شده است. ایالت ساختاری سیستان در شرق ایران با روند کلی شمالی جنوبی، نشانگر زمین درز برخوردي بلوك های لوت و افغان می باشد (تیروول و همکاران، ۱۹۸۳). وجود سیستم گسلی نهیندان در مرز بین این ایالت ساختاری و پهنه های لوت موجب دگرشکلی واحدهای سنگی در حاشیه و درون ایالت ساختاری سیستان شده است. سیستم گسل نهیندان با سازوکار غالب امتداد لغز راستگرد و روند کلی شمالی- جنوبی دارای سرشاخه های فرعی زیادی می باشد. پایانه شمالی این گسل با چرخش به سمت غرب روند های شمال غرب- جنوب شرق، شرقی- غربی و شمال شرق- جنوب غربی را نشان می دهد؛ لذا پهنه های سیستان در بخش شمالی با تغییر جهت به طرف غرب به صورت تداخلی وارد قطعه لوت می شود (خطیب، ۱۳۷۷). پهنه گسلی شکرآب شامل چند سری گسل موازی هم و از سری گسل های شرقی غربی مربوط به پایانه گسل نهیندان می باشد که دارای مولفه تراستی با شبیه به سمت شمال است. ساختار های اصلی در منطقه مورد مطالعه، گسل ها، چین خوردگی ها و دوپشته ها می باشد. روند کلی دو پشته ها و موقعیت سطوح محوری چین ها باختり - خاوری و به موازات گسل شکرآب می باشند (رشیدی، ۱۳۹۰). با وجود نقش انکار ناپذیر گسل شکرآب در دگرریختی کلی منطقه، اثر سطحی این گسل به دلیل پوشیده شدن با آبرفت های عهد حاضر در اکثر نقاط قبل دیدن نمی باشد. از این رو بررسی شواهد ریخت زمین ساختی می توانند تاثیر گسل شکرآب و گسل های موازی آن را در زمین ساخت جنبایی منطقه بازگو نمایند و جنبایی زمین ساختی منطقه در عهد حاضر را بیشتر تایید کنند.

مقدمه

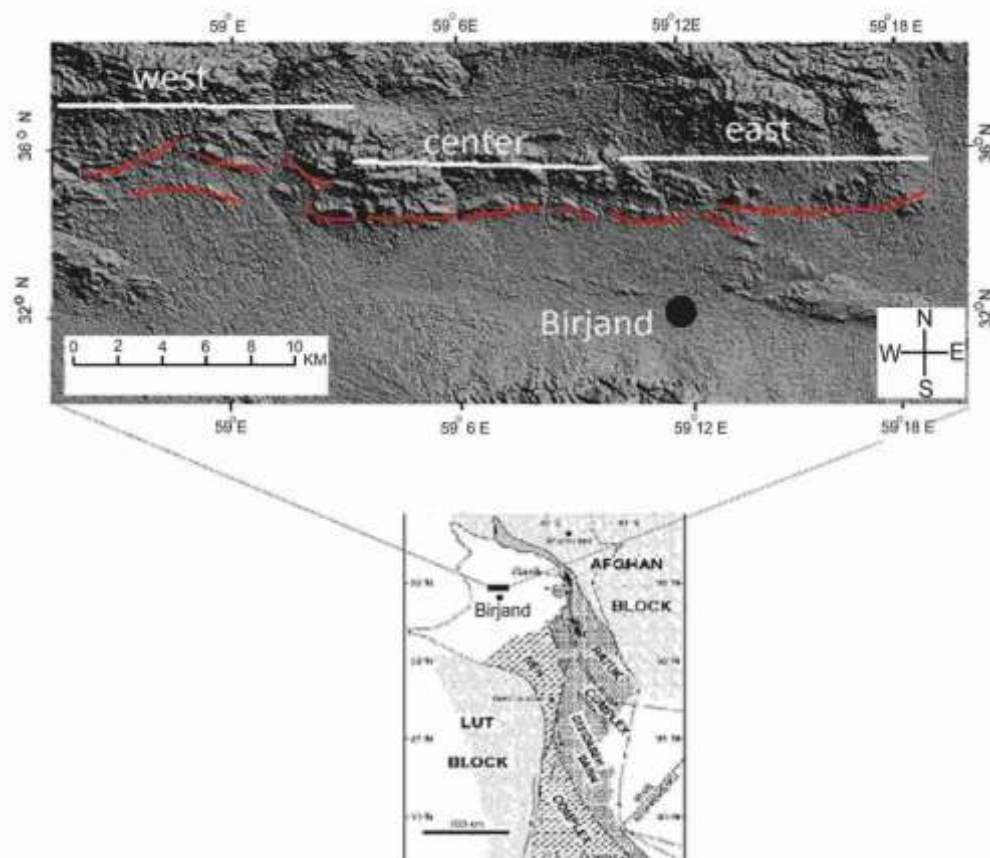
گسل شکرآب با فاصله کمینه ۴ کیلومتر از مرکز شهر بیرجند، می تواند به عنوان یک منشاء فعالیت لرزه ای برای این شهر محسوب گردد. هدف از انجام این تحقیق، ارزیابی میزان فعالیت سیستم گسلی شکرآب به کمک شاخص های ریخت زمین ساختی و مقایسه میزان فعالیت بخش های مختلف گسل با همدیگر می باشد. اندازه گیری های کمی شاخص های ریخت زمین ساختی در یک منطقه، در تشخیص برخی ویژگی های آن، از جمله میزان فعالیت زمین ساختی سودمند می باشند (کلر و پینتر، ۱۹۹۶). متغیر های کمی ریخت زمین ساختی مواردی مانند شکل پیشانی کوه ها، مساحت و برجستگی حوضه آبریز، فرکانس رود، انتگرال هیپسومتریک و تحلیل الگوهای زهکشی هستند (چام، ۱۹۷۷). در تحلیل الگوی زهکشی، شاخص هایی مانند شاخص گرادیان طول رودخانه (SL) و نسبت عرض کف دره به ارتفاع دره (Vf) می توانند دگرریختی زمین ساختی را به خوبی بازگو نمایند (هاک، ۱۹۷۳ و بال، ۱۹۸۷). سینوسیته پیشانی کوه ها (Smf) نیز از شاخص های شکل پیشانی کوه ها است که در تعیین زمین ساخت فعلی یک منطقه مورد استفاده قرار می گیرد (بال، ۱۹۷۷). در نوشتار حاضر به منظور تعیین میزان جنبایی نوزمین ساختی پهنه شکرآب، چهار شاخص انتخاب و محاسبه و تحلیل شده اند. همچنین کلاس نسبی فعالیت تکتونیکی در این پهنه گسلی بدست آمده است.

مواد و روش

پهنه گسلی شکرآب در بین طول های جغرافیایی 59° تا 51° شرقی و عرض های جغرافیایی 32° تا 30° شمالی قرار

محاسبه‌ی شاخص Smf جبهه کوه‌هایی را که در مجاورت و به موازات گسل شکرآب قرار دارند مورد بررسی قرار گرفتند. با محاسبه شاخص‌های مذکور و همچنین با برداشت شواهد نوزمین ساختی مرتبط با فعالیت گسل در بازدید‌های میدانی، شدت نسبی فعالیت تکتونیکی و هم چنین مناطقی را که دارای بیشترین فعالیت و بالاً‌مدگی هستند، مشخص شدند. با توجه به شرایط یکنواخت سنگ‌شناختی و آب و هوایی حاکم بر منطقه، تاثیرات این عوامل در پیدایش و تکمیل چشم اندازها یکسان در نظر گرفته شد و از این‌رو، پدیده‌های ریخت‌شناسی از نگاه نو زمین ساخت و ریخت زمین ساخت بررسی شدند.

روش کار: به منظور ارزیابی تکوین تکتونیکی پهنه گسلی شکرآب با استفاده از شاخص‌های ریخت‌زمین ساختی و بر اساس ویژگی‌های ساختاری، ناپیوستگی‌های هندسی و ریخت‌شناسی، شاخص‌های Er, SL, Vf, Smf در سه بخش شرقی، مرکزی و غربی محاسبه گردیدند (شکل ۱). نقشه‌های توپوگرافی، تصاویر ماهواره‌ای، مدل‌های رقومی ارتفاعی و عکس‌های هوایی منطقه به عنوان مبنای بررسی‌ها مورد استفاده قرار گرفتند. برای تحلیل شاخص‌های رودخانه‌ای، آبراهه‌های بزرگ و اصلی که بیشتر تا خط تقسیم اصلی منطقه، یعنی خط الراس جداکننده دامنه شمالی کوه‌های شکرآب از دامنه جنوبی امتداد داشتند، در نظر گرفته شدند. به منظور

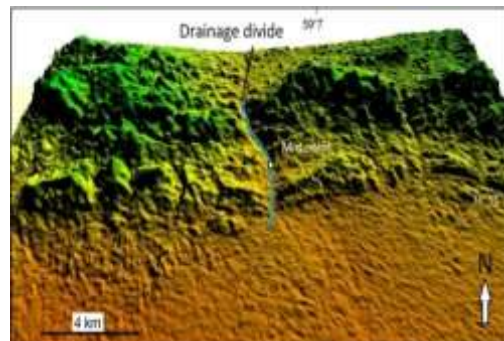
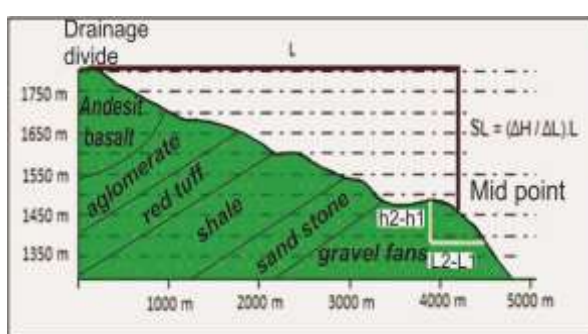


شکل ۱: تصویر ماهواره‌ای بر جستگی ارتفاع سایه روشن SRTM از موقعیت پهنه گسلی شکرآب واقع در شمال شهر بیرجند و موقعیت آن در ایالت ساختاری سیستان.

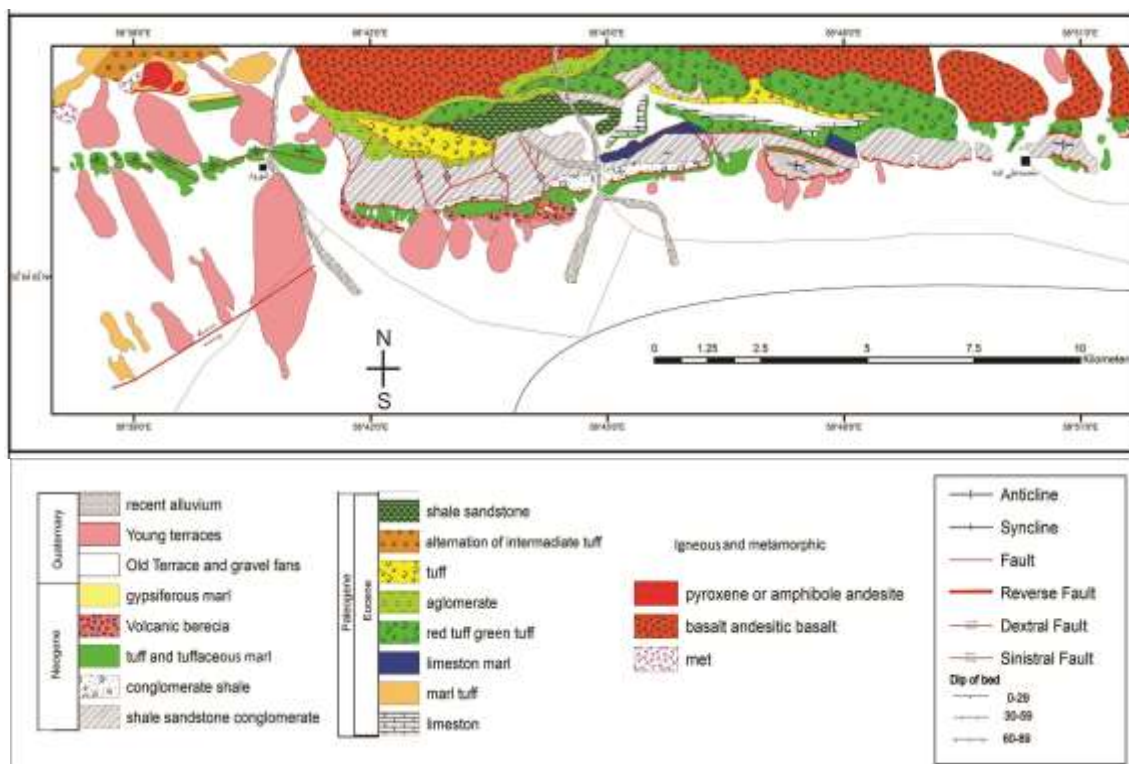
افزایش یابند، شیب های زیاد در اواسط و قسمت های پایین دست رود قرار می گیرند که در این حالت برخاستگی و فعالیت تکتونیکی را در منطقه نشان می دهد. برای محاسبه این شاخص، ده کanal رودخانه اصلی منطقه شکرآب در نظر گرفته شده اند (شکل ۳ و ۴). در هر رودخانه مقادیر شاخص شیب رود با استفاده از ترسیم مقاطع بر روی تصاویر DEM و نقشه های ۱/۵۰۰۰۰ توبوگرافی در سه مکان بالا دست، میانه حوضه و پایین دست رود محاسبه گردیدند. به عنوان نمونه، در شکل ۲ محاسبات شاخص فوق برای رود شماره ۵، حاکی از مقادیر بالاتر و ماقریزم به میزان ۶۵۶ در پایین دست می باشد؛ که این بخش از رودخانه از واحد های آبرفتی و ماسه سنگی عبور می کند و نسبت به بالا دست رودخانه با مقادیر میانگین این شاخص به میزان ۴۰۰ که از واحد های توفی و آگلومرایی عبور می کند، بیشتر می باشد.

نتایج (شاخص های ریخت زمین ساختی) شاخص طول- گرادیان رود

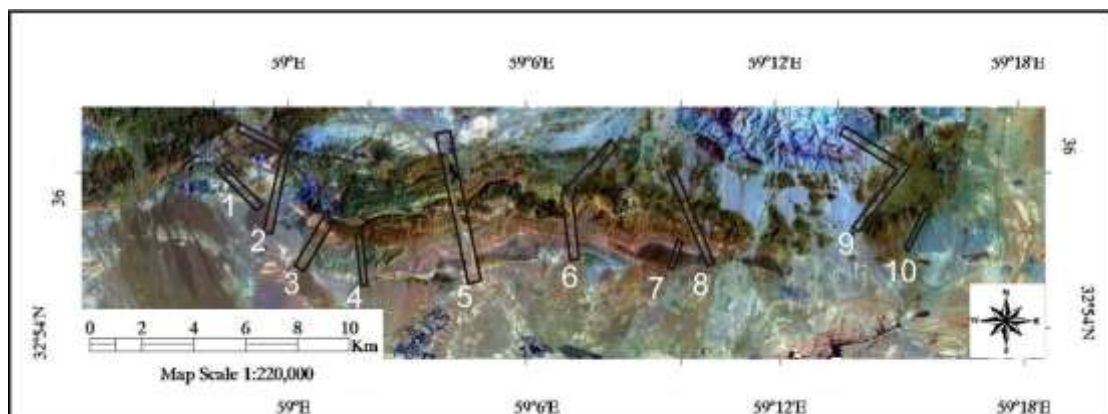
شاخص شیب رود یکی از شاخص های ارزیابی تکتونیک فعل در ارتباط با شکل کanal رودها است که به صورت $L = (\Delta H / \Delta L) \cdot L$ تعریف می شود. که در این رابطه $\Delta H / \Delta L$ اختلاف ارتفاع بیانگر شیب محلی رود (ΔH طول محدوده است) و L بیانگر طول کanal از خط مستقیم رود تا مرکز بخشی است که شیب آن محاسبه شده است (شکل ۲). شاخص شیب رود برای نشان دادن تغییرات گرادیان نیمرخ طولی رودها مورد استفاده قرار می گیرد و عامل بازتاب دهنده میزان قدرت رودخانه می باشد (هاک، ۱۹۷۳). مقادیر بالای SL را بطور معمول مرتبط با زمین ساختی جنبایی عهد حاضر در نظر می گیرند (کلر و پینتر، ۱۹۹۶) بهترین روش برای اندازه گیری شاخص شیب رود استفاده از پروفیل طولی حوضه ها است. اگر از بالا دست حوضه به سمت پایین دست این مقادیر



شکل ۲: مدل رقومی ارتفاع و مقاطع ترسیمی برای تعیین شاخص SL در پایین دست رودخانه (رود شماره ۵) واقع در بخش مرکزی منطقه مطالعاتی. اختلاف ارتفاع در این بخش از رود ۱۰۰ متر و طول این بخش رود ۸۵۰ متر می باشد. با توجه به فاصله ۴۲۰۰ متری نقطه میانی تا بالادست حوضه، میزان شاخص شیب در بخش پایین دست رودخانه ۴۹۵ می باشد (SL6).



شکل ۳: نقشه زمین‌شناسی منطقه



شکل ۴: اعداد نمایانگر رودهای مهم منطقه می باشند که شاخص شیب رود برای آنها محاسبه شده است.

بدست آمده برای شاخص شیب رود، محدوده تغییرات ۴۰-۱۰۲ را نشان می دهد. مقادیر کمتر مربوط به مناطق مرکزی و مقادیر بالاتر مربوط به بخش های شرقی و غربی گسل می باشند. با توجه به مقادیر نسبتا بالای شاخص شیب رود در همه بخش های پهنه مطالعاتی و از آنجایی که در تمامی آبراهه ها، شیب های زیادتر

بزرگترین مقدار محاسبه شده برای شاخص SL در هر نیم رخ طولی مربوط به هر کدام از حوضه ها، به عنوان میزان شاخص SL آن حوضه در نظر گرفته می شود. جدول ۱ مقادیر شاخص SL برای رودهای مهمی که از پهنه گسلی شکرآب عبور کرده و در نتیجه تحت تاثیر حرکات زمین ساختی آن قرار دارند، را نشان می دهد. مقادیر

نتیجه گرفت که بالا بودن مقادیر شاخص SL، می تواند مربوط به فعالیت تکتونیکی در پهنه گسلی شکرآب باشد (شکل ۳).

در پایین دست کanal رودها واقع شده اند، و از آن جایی که به طور کلی واحد های سنگ شناختی پهنه گسلی شکرآب عمدتاً شامل واحد های کم مقاوم فلیشی شیلی و مارنی می باشند؛ می توان

جدول ۱: مقادیر مربوط به محاسبه شاخص شیب رود.

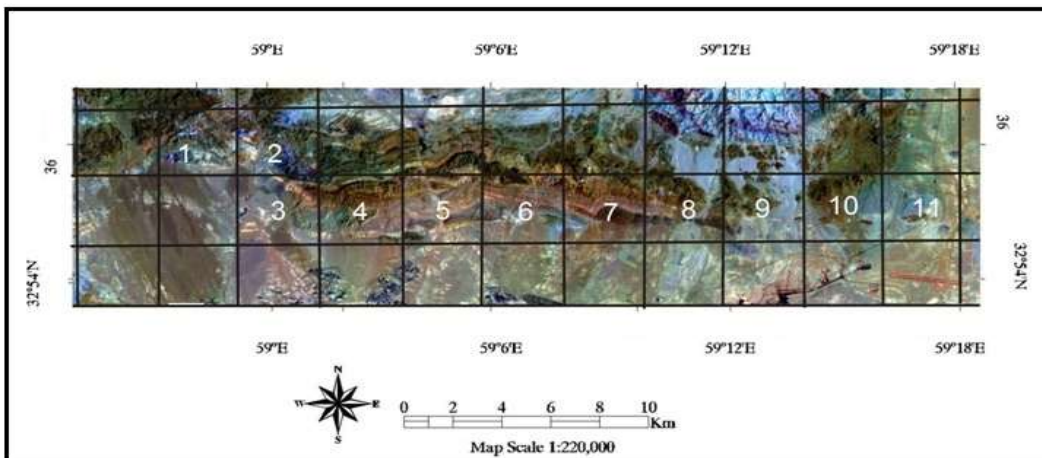
شماره رود	بالا دست		میان حوضه		پایین دست حوضه		موقعیت در پهنه گسلی
	SL 1	SL2	SL3	SL4	SL5	SL6	
1	475	490	520	554	611	790	790 غربی
2	433	430	470	515	603	655	655 غربی
3	580	600	732	767	843	825	843 غربی
4	340	375	410	493	503	540	540 غربی
5	410	370	440	532	656	495	656 مرکزی
6	319	354	362	342	450	400	404 مرکزی
7	250	335	420	480	520	504	520 مرکزی
8	324	370	408	487	318	660	660 شرقی
9	815	840	900	894	950	1020	1020 شرقی
10	650	656	746	830	820	890	890 شرقی

پهنه گسلی پوشش داده شود، شبکه های 3×3 کیلومتر در امتداد گسل بر روی نقشه های توپوگرافی ترسیم شد؛ مکان شبکه های ترسیمی بر روی تصویر ماهواره ای نشان داده شده است (شکل ۵). سپس با توجه به فرمول شاخص هیپسومتری، میزان E_r در هر شبکه محاسبه گردید، که مقادیر آن در جدول ۲ ارائه شده است. مقادیر E_r محدوده تغییرات در بازه $0.47 - 0.81$ را نشان می دهند. همان طور که ذکر شد هرچه E_r در یک منطقه بیشتر باشد نرخ بالا آمدگی نیز در آن منطقه بیشتر است که می توان نتیجه گرفت نرخ بالا آمدگی در کل منطقه مورد مطالعه بالا می باشد. همچنین نتایج محاسبات حاکی از آن است که بیشترین مقادیر شاخص هیپسومتری نسبت ارتفاع مربوط به شبکه های مناطق مرکزی با میانگین 0.68 می باشد که

شاخص هیپسومتری نسبت ارتفاع (E_r) هیپسومتری نسبت ارتفاع بخش جزئی از یک ناحیه با ارتفاعات متفاوت می باشد ($E_r = \frac{E_{\text{mean}} - E_{\text{min}}}{E_{\text{max}} - E_{\text{min}}}$). این شاخص از رابطه محاسبه می شود. در این رابطه E_{mean} میانگین ارتفاعات در یک مساحت مشخص، E_{max} و E_{min} بیشینه و کمینه ارتفاعات در آن مساحت می باشد. مقادیر اندک نشان دهنده عوارض کم ارتفاع و یا کوه ها و صخره های مجزا و مقادیر بالا نشان دهنده عوارض و اشکال مرتفع می باشند. هیپسومتری ارتفاعی ارتباطی مستقیم با نرخ بالا آمدگی دارد (پیک و ویلسون، ۱۹۷۱ و لیفتون و چاس، ۱۹۹۲). در این تحقیق به منظور محاسبه شاخص هیپسومتری ارتفاع در منطقه مورد مطالعه، به نحوی که همه قطعات و بطور مشخص عرض

بخش میانی پهنه شکرآب می باشد.

این مورد ناشی از عملکرد گسل های راندگی در توسعه دویشه ها در منطقه کمر حاجی واقع در



شکل ۵: تصویر ماهواره ای منطقه به همراه محل شبکه های برداشت داده های E_r .

جدول ۲: مقادیر نسبت ارتفاع در امتداد گسل شکرآب.

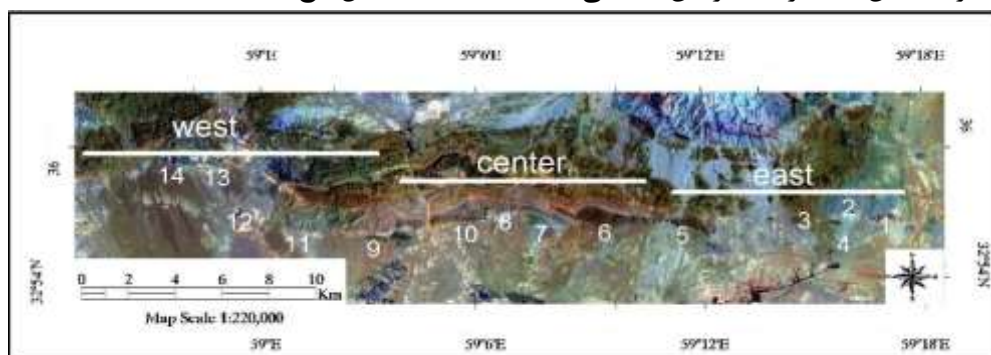
منطقه	E_{\max}	E_{mean}	E_{\min}	E_r	موقعیت شبکه در پهنه گسلی شکرآب
1	1771	686	1540	0.63	غربی
2	1742	620.8	1510	0.48	غربی
3	1740	1635.3	1440	0.64	غربی
4	1778	1643.3	1450	0.59	غربی
5	1612	1576.2	1420	0.81	مرکزی
6	1790	1623.4	1433	0.53	مرکزی
7	1790	1648	1520	0.47	مرکزی
8	1717	1663.4	1510	0.7	شرقی
9	1755	1678	1540	0.64	شرقی
10	1766	1699	1540	0.7	شرقی

رابطه Smf سینوسیته پیشانی کوه، Lmf طول پیشانی کوه در طول معینی از دامنه کوه و Ls طول خط مستقیم پیشانی کوهستان می باشد(شکل ۷ آ). شاخص پیج و خم پیشانی کوهستان بیانگر توازن بین شدت و تمایل رودها برای ایجاد یک پیشانی نامنظم و فعالیت

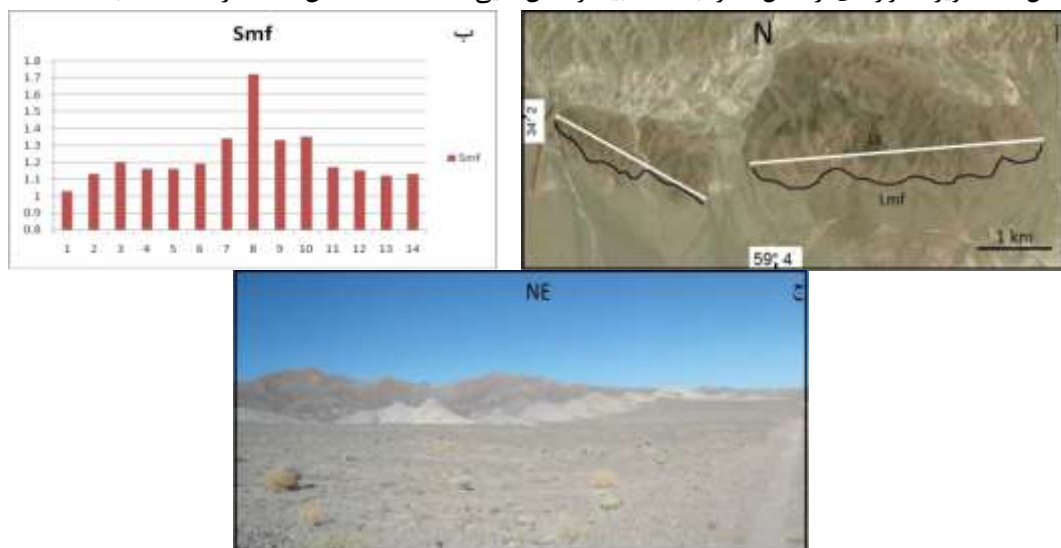
شاخص سینوسیته جبهه کوهستان (Smf) به منظور محاسبه ای شاخص Smf جبهه کوه هایی را که در مجاورت و به موازات گسل شکرآب قرار دارند، مورد بررسی قرار گرفتند(شکل ۶). شاخص پیج و خم پیشانی کوهستان به صورت $Smf=Lmf/Ls$ تعریف می شود که در این

یک جمع بندی نهایی در مورد وضعیت فعالیت و مناطق فعال در امتداد گسل شکرآب دست یافت. همان گونه که از نمودار هیستوگرام مشاهده می شود، در مناطق غربی، مرکزی و شرقی گسل میانگین شاخص سینوسیته کوهستان به ترتیب به میزان ۱.۱۲، ۱.۴۳ و ۱.۱۴ می باشد. (شکل ۷ج). نتایج بدست آمده از محاسبه شاخص فوق معرف منطقه ای با جنبایی زمین ساختی بالا می باشند. در بازدید صحرایی بخصوص در بخش های شرقی و غربی گسل شکرآب، فعالیت زمین ساختی زیاد خود را با پیشانی های مستقیم در کوه ها نشان می دهد (شکل ۷ج).

تکتونیکی قائم درجهت ایجاد یک پیشانی خطی برای کوه است. بر اساس بررسی های (بال و مک فادن، ۱۹۷۷) پیشانی کوه های محدود به گسل فعال دارای مقادیر شاخص Smf بین ۱تا ۱.۶، پیشانی کوه هایی با جنبایی کمتر دارای مقادیر Smf ۱.۴ تا ۳ هستند و پیشانی های غیرفعال اعداد ۱.۸ تا ۵ را برای این شاخص نشان می دهند. با محاسبه جبهه کوه های به موازات گسل می توان شدت نسبی فعالیت تکتونیکی و هم چنین مناطقی را که دارای بیشترین فعالیت بالآمدگی هستند مشخص نمود. آنگاه با مقایسه آن با دیگر شاخص های ریخت زمین ساختی به



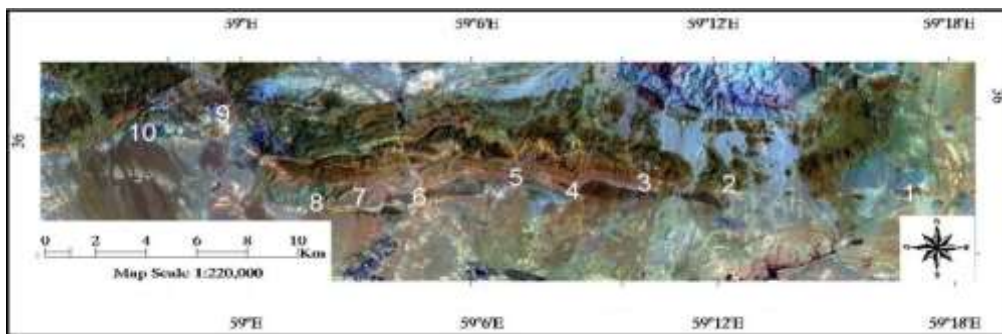
شکل ۶: تصویر ماهواره ای از گسل شکرآب. اعداد بیانگر مکان هایی هستند که شاخص Smf در آنجا محاسبه شده است.



شکل ۷ آ: تعیین شاخص Smf در قطعه شماره ۹ کوه شکرآب با استفاده از تصویر ماهواره ای. خط سفید نشان دهنده طول مستقیم جبهه کوه (Ls) و خط سیاه رنگ نشان دهنده طول مارپیچ جبهه کوه (Lmf) است. طول کل Ls برابر ۴.۲ کیلومتر و طول کل Lmf برابر با ۵.۵۸ کیلومتر می باشد. و درنتیجه مقدار شاخص Smf در این قطعه از گسل برابر ۱.۳۳ می باشد. ب- نمودارهیستوگرام مقادیر شاخص Smf در بخش های مختلف گسل شکرآب. ج- جبهه خطی کوهستان در بخش شرقی پهنه مطالعاتی.

فرازگیری را بازگو می‌کنند اما دره‌های تنگ و V شکل مقادیر پایین Vf را نشان می‌دهند و حاکی از آهنگ بالای فرازگیری می‌باشند (باربنک و اندرسون، ۲۰۰۱). جدول ۳ مقادیر شاخص Vf را که با استفاده از ترسیم مقاطع عرضی بر روی تصاویر DEM و نقشه‌های توپوگرافی در دره‌های بزرگ و اصلی پهنه مطالعاتی محاسبه شده‌اند، را نشان می‌دهد (شکل ۸).

شاخص نسبت پهنه‌ای دره به ارتفاع دره (Vf) این شاخص به صورت $Vf = 2 \times Vfw / ((EId - Esc) + (Erd - Esc))$ تعریف می‌شود. که در آن Vfw عرض بستر دره، EId ارتفاع دیواره سمت چپ دره، Erd ارتفاع دیواره سمت راست دره و Esc ارتفاع بستر دره می‌باشد. چنانچه از رابطه فوق آشکار است، دره‌های مسطح و عریض دارای مقادیر Vf بالا می‌باشند و آهنگ آهسته



شکل ۸: تصویر ماهواره‌ای از پهنه شکرآب. اعداد بیانگر مکان‌هایی هستند که شاخص Vf در آنجا محاسبه شده است.

جدول ۳: مقادیر شاخص Vf در بخش‌های مختلف گسل شکرآب.

شماره دره	2 Vf(m)	Eid(m)	Esc(m)	Erd(m)	Vf	موقعیت دره نسبت به پهنه گسلی شکرآب
1	10	1625	1605	1612	0.37	شرقی
2	48	1643	1607	1634	0.64	شرقی
3	80	1730	1660	1700	0.61	شرقی
4	50	1675	1525	1625	0.22	مرکزی
5	32	1494	1480	1494	1.14	مرکزی
6	150	1700	1540	1610	0.65	مرکزی
7	270	1670	1530	1565	0.98	مرکزی
8	80	1600	1550	1580	1	غربی
9	90	1720	1640	1690	0.69	غربی
10	80	1640	1600	1630	1.14	غربی

خودرا به صورت موازی با امتداد مسیر گسل طی می‌کنند و مجدداً به مسیر اصلی خود باز می‌گردند. آبراهه‌ها ای جابجا شده و منحرف شده، نشانگر فعالیت و حرکات راستالغز چپگرد در راستای گسل شکرآب می‌باشند (شکل ۹).

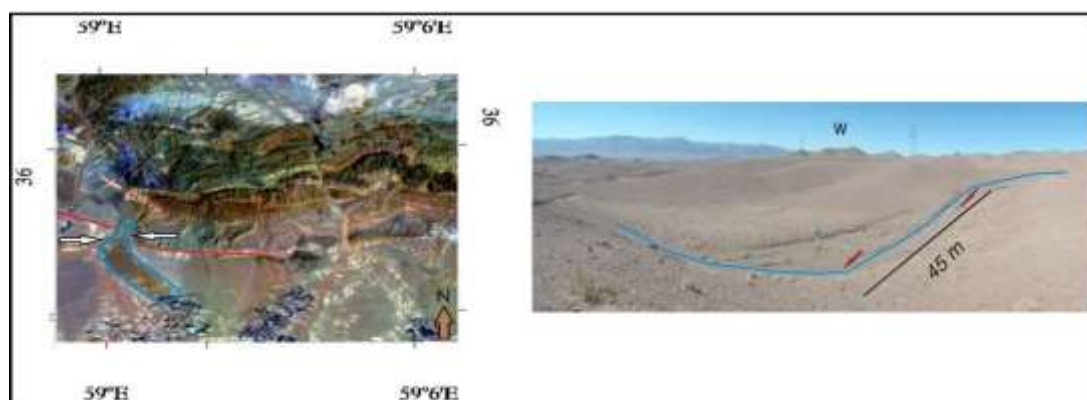
پشته‌های مسدود کننده

پشته‌های مسدود کننده تپه‌هایی هستند که در اثر حرکت گسل در مقابل آبراهه‌ها قرار می‌گیرند و باعث انسداد مسیر آنها می‌شوند، بنابراین این پشته‌ها در ارتباط مستقیم با آبراهه‌های منحرف شده و جابجا شده می‌باشند. از شکل مخروطه افکنه در بخش غربی منطقه، می‌توان برای گسل شکرآب عملکرد چپ بر قائل شد. در اینجا یک پشته مسدود کننده وجود دارد که باعث خم شدن مخروطه افکنه شده است. این پشته در اثر عملکرد گسل و بدليل فرازگیری واحد سنگی مارن توفی به وجود آمده است که جلوی حرکت مستقیم مخروطه افکنه و آبراهه را گرفته و باعث چرخش آن شده است (شکل ۱۰).

با توجه با جدول، دامنه تغییرات این شاخص بین ۰/۲۲ تا ۱/۱۴ می‌باشد. به طور کلی با توجه به مقادیر پایین شاخص Vf در این همه بخش‌های منطقه، می‌توان چنین استنباط کرد که عمل فرسایش آب‌های جاری نقش مهمی در حفر عمیق دره‌ها داشته که این امر خود ناشی از عملکرد تکتونیک فعال در امتداد این گسل می‌باشد. وجود دره‌های تیز و V شکل در تمامی پهنه شکرآب دال بر فعالیت تکتونیکی زیاد در پهنه شکرآب می‌باشد.

جابجایی آبراهه‌ها در راستای گسل

آبراهه‌ها تأثیرپذیرترین عنصر از جنبش‌های تکتونیکی هستند، از این رو برای بررسی نحوه حرکت گسل شکرآب و جهت آن به این مهم توجه شد و تعقیب مسیر آبراهه‌ها در عکس‌های هوایی و ماهواره‌ای و مشاهدات صحراوی مورد توجه قرار گرفت. آبراهه‌ها که در راستای شمالی جنوبی قرار دارند پس از رسیدن به مسیر گسل، مقداری از مسیر



شکل ۹: جابجایی آبراهه در گسل شکرآب.

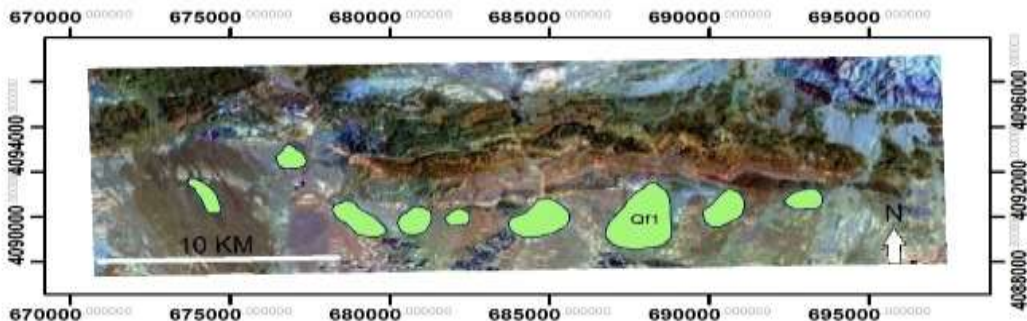
شکل ۱۰: موقعیت پشته مسدود کننده و حرکت چپگرد گسل.

سمت پایین رود زیاد باشد، رسوبگذاری در رأس مخروط افکنه صورت گرفته و جوانترین بخش‌های مخروط افکنه در نزدیکی رأس آن ایجاد می‌شوند. اما اگر میزان برخاستگی پیشانی کوه‌ها کمتر یا

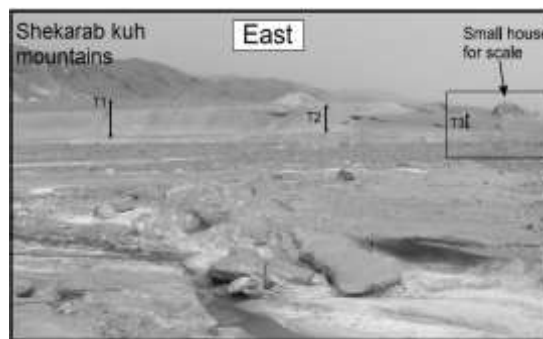
وضعیت مخروطه افکنه
مورفولوژی مخروطه افکنه‌ها برای شناسایی مناطق فعل حائز اهمیت می‌باشند. اگر میزان برخاستگی پیشانی کوه‌ها نسبت به میزان حفرشدن به

این مورد نشان می‌دهد نرخ برخاستگی در طول گسل زیاد می‌باشد. مخروطه افکنه‌های جوانتر (Qf1) در عکس‌های ماهواره‌ای نسبت به مخروطه افکنه‌های قدیمی‌تر، به علت دارا بودن درصد بالاتری از رطوبت، تیره‌تر به نظر می‌رسند (این حالت وجه تمایز بین دو نوع مخروطه افکنه جوان و قدیمی‌تر می‌باشد) (شکل ۱۱).

برابر میزان حفرشدن‌گی به سمت پایین‌رود در کوهستان باشد، رأس مخروط افکنه بوسیله رود حفر شده و رسوبگذاری به بخش‌های پایین‌تر منتقل گشت، در نتیجه بخش‌های جوانتر در فواصل بیشتری از پیشانی کوه دیده می‌شوند. در تمام طول پهنه گسلی شکرآب ودر مرز کوه و دشت، مخروطه افکنه‌های جوانتر (Qf1) در راس مخروطه افکنه قدیمی (Qt2) تشکیل شده‌اند. که



شکل ۱۱: موقعیت مخروطه افکنه‌های سیزرنگ محدوده‌های پیشانی کوه، محدوده‌های جوانتر (Qf1) را نشان می‌دهند.
از دیگر شواهد نوزمین ساختی در راستای ارزیابی فعالیت در پهنه گسلی شکرآب می‌توان به وجود سه نسل از تراس‌های رودخانه‌ای و همچنین ایجاد کج شدگی در رسوبات گراوی نام برد. سه سطح تراس رودخانه‌ای بریده شده‌اند و با حفر قائم رودخانه رودشور بصورت متروک باقی مانده‌اند. دو تراس رودخانه‌ای پایینی در ارتفاع ۲ و ۵



شکل ۱۲: وجود سه نسل از تراس‌های رودخانه‌ای بریده شده.

می‌توان به سه بخش شرقی، مرکزی و غربی تقسیم کرد و پارامترهای مورفوتکتونیکی آنها را جهت ارزیابی میزان فعالیت نسبت به هم مقایسه

رده بندی جنبایی زمین‌ساختی بر اساس ویژگی‌های ساختاری، ناپیوستگی‌های هندسی و ریخت‌شناسی، پهنه گسلی شکرآب را

هم یک کلاس بندی نسبی از فعالیت تکتونیکی در یک منطقه ایجاد گردید. با استفاده از نظرات (بال، ۱۹۷۸؛ بال و مک فادن، ۱۹۷۷ و کلر و پینتر، ۱۹۹۶) می‌توان هر سه بخش شرقی، مرکزی و غربی گسل شکرآب را در گروه یک پویایی زمین ساختی قرار داد (جدول ۴).

کرد. در این بخش با جمع بندی و تجزیه تحلیل شاخص‌ها، میانگین هر کدام از آنها در بخش‌های مختلف گسل بدست آمده است. طبق مقادیر محاسبه شده، میزان فعالیت تکتونیکی در بخش‌های غربی و شرقی از بخش مرکزی گسل بیشتر می‌باشد. براساس نتایج بدست آمده از محاسبه شاخص‌های ریخت‌زمین‌ساختی و با تلفیق آن‌ها با

جدول ۴: مقایسه میانگین شاخص‌های ریخت‌زمین‌ساختی در بخش‌های مختلف گسل شکرآب.

شاخص	بخش غربی	بخش مرکزی	بخش شرقی
Smf	1.14	1.43	1.14
V _f	0.94	0.92	0.54
S _L	707	527	857
Er	0.58	0.60	0.68
رده جنبایی تکتونیکی	1	1	1

و غربی گسل پیش روی دارد. به طوری که در بخش‌های شرقی و غربی پیشانی کوه‌ها به خط راست نزدیکتر، رود‌ها سینوسیته کمتردارند و دره‌ها تنگ‌تر می‌شوند. شواهدی از قبیل ظهرور پرتگاه‌های گسلی، برش در رسوبات کواترنری، پشت‌های مسدود کننده، نسل‌های متعدد تراس‌های رودخانه‌ای و کج شدگی در رسوبات کواترنری که موید حرکات تکتونیکی عهد حاضر هستند، در بخش‌های شرقی و غربی گسل از بخش میانی بیشتر می‌باشند.

نتیجه گیری

بررسی چهار شاخص Smf, Vf, SL و Er در پهنه گسلی شکرآب نشان می‌دهد که بطور کلی دو شاخص نخست مقادیر میانگین پایین و دو شاخص بعدی مقادیر میانگین بالایی را به خود اختصاص می‌دهند. از این رو می‌توان پهنه گسلی شکرآب را از نظر جنبایی نوزمین ساختی در کلاس ۱ رده بندی قرار داد. مقایسه جنبایی گسل در بخش‌های مختلف و شواهد بدست آمده نشان می‌دهند که دگر ریختی عهد حاضر از مرکز گسل به طرفین یعنی به سمت بخش‌های شرقی

رشیدی، ا.، ۱۳۹۰. تحلیل هندسی- جنبشی عناصر ساختاری کوه کمر حاجی (شمال غرب بیرجند)، پایان نامه کارشناسی ارشد، دانشگاه بیرجند، ۱۳۵ صفحه.

منابع

خطیب، م. م.، ۱۳۷۷. هندسه پایانه گسل‌های امتدادلغز، پایان نامه دکتری، دانشگاه شهید بهشتی، ۲۲۴ صفحه.

-Bull, W. B., 1978. Geomorphic tectonic classes of the south front of the San Gabriel Mountains, California. U.S

Geological Survey Contract, Report 14-08 -001-G-394. Office of Earthquakes,

- Volcanoes and Engineering , Menlo Park, Kalif, 59 p.
- Bull, W.B., and Mc fadden, L.D., 1977. Tectonic geomorphology north and south of the Garlock fault, California, in Geomorphology in Arid Regions, D.O. Doebring, ed., Publication in Geomorphology, State University of New York Binghamton, p.115-138.
- Bull, W.B., 1977. Tectonic Geomorphology of Mojave desert. Geological Survey Contract Report 14-08 -001-G-394. Office of Earthquakes, Volcanoes and Engineering, Menlo Park, Kalif, 188 p.
- Burbank, D.W., and Anderson, R.S., 2001. Tectonic Geomorphology, Blackwell Sci, v. 1, 274 p.
- Hack, J.T., 1973. Stream - profile analysis and stream – gradient indices.US Geological Survey Journal Research v.1, p.421-429.
- Lifton, N.A., and Chase, C.G., 1992. Tectonics, climatic and lithologic influences on landscape fractal dimension and hypsometry: implications for landscape evolution in the San Gabriel Mountains, California. Geomorphology, v. 5, p.77-114.
- Keller, E.A., and Pinter, N., 1996. Active tectonic, Prentice Hall, Saddle River, New Jersey,339.
- Mayer, L., Menichetti, M., Nesci, O. and Savelli, D., 2003. Morphotectonic approach to the North Marche region, Central Italy, v. 102, p. 157-167.
- Pike, R. J., and Wilson, S.E., 1971. Elevation -relief Ratio. Hypsometric integral and geomorphic Area-Altitude analysis, v. 82, p. 1079-1084.
- Schumm, S. A., 1977. The Fluvial System. Wiley, Neo York. Annual Review of Earth and Planetary Sciences, Vol. 13, p.5
- Seno, T., Stein, S., Gripp, A, E., 1993. A model for motion of the Philippine sea plate consistent with NUVEL-1 and geological data. J. Geophys. Res, v. 98, p. 17941-17948.
- Strahler, A.N., 1952. Hypsometric analysis of erosional topography. Geological Society of America, v. 63, p. 1117-1142.
- Tirrule, R., Bell, L.R., Griffis, R.J., and Camp, V.E., 1983. The Sistan suture zone of eastern Iran. G.S.A, v. 94, p. 134-150.
- Walker, R. T., and Khatib, M. M., 2006. Active faulting in the Birjand region of eastern Iran, Tectonics, v. 25, p.16 1-17.